

(HUANJING KEXUE)

ENVIRONMENTAL SCIENCE

第38卷 第11期

Vol.38 No.11

2017

中国科学院生态环境研究中心 主办

斜学出版社出版



第38卷 第11期 2017年11月15日

目 次

| 天津市非道路移动源污染物排放清单开发 张意, Andre Michel, 李东, 张欣, 吴琳, 张衍杰, 马超, 邹超, 毛洪钧(4447) |
|---|
| 基于移动监测和土地利用回归模型的上海市近地面黑碳浓度空间模拟 |
| |
| 鄂东典刑工业城市大气 PM 中元素浓度特征和来源分析 |
| 上上林 张宏皂 郑勤茹 极强珍 刘奸爵 当文胜 刘牛利 曹军躨(4463) |
| 点长林,张家泉,郑敬茹,姚瑞珍,刘红霞,肖文胜,刘先利,曹军骥(4463)常州夏秋季 PM _{2.5} 中碳质气溶胶特征及来源 叶招莲,刘佳澍,李清,马帅帅,许澎(4469)徐州市冬季大气细颗粒物水溶性无机离子污染特征及来源解析 |
| 币用发怀子 FM _{2.5} TW.W. (格区付出及不够 |
| 你用巾令学人气细颗粒初小俗性无仇离丁行案付征及未像牌们 |
| |
| 南宁市一次污染过程大气颗粒物理化特性及来源 |
| |
| 西安市秋冬季不同空气质量下可培养微生物气溶胶浓度和粒径分布 |
| 李婉欣,路瑞,谢铮胜,王金龙,范春兰,刘鹏霞,李彦鹏(4494) 黄渤海海域秋季营养盐及有色溶解有机物分布特征··········唐永,孙语嫣,石晓勇,韩秀荣,苏荣国(4501) 华东沿海滩涂区表层沉积物重金属含量特征及风险评价·······张明,鲍征宇,陈国光,雍太健,朱意萍,梁晓红(4513) |
| 黄渤海海域秋季营养盐及有色溶解有机物分布特征 ···················· 唐永, 孙语嫣, 石晓勇, 韩秀荣, 苏荣国(4501) |
| 华东沿海滩涂区表层沉积物重金属含量特征及风险评价 张明, 鲍征宇, 陈国光, 雍太健, 朱意萍, 梁晓红(4513) |
| 基于地球化学特性的海州湾海洋牧场沉积物面全属研究 李大鹏 张硕 张中发 罗娜 魏青青 张瑞 黄宏(4525) |
| 全方地域化于的任产的目的与所有这种国家。 |
| 后打竹加坡小化于竹皿及杂江明白京 |
| 用业然中地区小户及字状、恤垩且丌印付证 |
| 过河流域地表水中典型抗生素污染特征及生态风险评估 |
| 东太冽渔业养殖对沉积物宫养盐的影响···································· |
| 浑太河不同水生态区营养盐对底栖硅藻的影响及阈值 张莉, 林佳宁, 张远, 王书平, 臧小苗, 张晓娇(4570) |
| 水环境条件对三峡库区消落带狗牙根氮磷养分淹水浸泡释放的影响 肖丽微,朱波(4580) |
| 野鸭湖湿地芦苇根际微生物多样性与磷素形态关系 滕泽栋,李敏,朱静,宋明阳(4589) |
| 人为扰动背景下城市边缘溪流底质硝化-反硝化潜力分析 李如忠,郑侠,高苏蒂,叶舟(4598) |
| 华东沿海滩涂区表层沉积物重金属含量特征及风险评价 张明,鲍征字,陈国光,雍太健,朱意萍,梁晓红(4513)基于地球化学特性的海州湾海洋牧场沉积物重金属研究 李大鹏,张硕,张中发,罗娜,魏青青,张瑞,黄宏(4525)尼洋河流域水化学特征及其控制因素 张涛,蔡五田,李颖智,张智印,耿婷婷,边超,赵淼,蔡月梅(4537)南亚热带地区水库夏季铁、锰垂直分布特征 杨思远,赵剑,余华章,彭亮,肖利娟(4546)辽河流域地表水中典型抗生素污染特征及生态风险评估 张晓娇,柏杨巍,张远,马淑芹,郭昌胜,张莉(4553)东太湖渔业养殖对沉积物营养盐的影响 何肖微,储瑜,曾巾,赵大勇,陆建明,曹萍,吴庆龙(4562)浑太河不同水生态区营养盐对底栖硅藻的影响及阈值 张莉,林佳宁,张远,王书平,臧小苗,张晓娇(4570)水环境条件对三峡库区消落带狗牙根氮磷养分淹水浸泡释放的影响 斯鸭湖湿地芦苇根际微生物多样性与磷素形态关系 滕泽旅,李敏,朱静,宋明阳(4589)人为扰动背景下城市边缘溪流底质硝化-反硝化潜力分析 李如忠,郑侠,高苏蒂,叶舟(4598)不同扰动下外源磷在形态磷间的分布规律 蔡顺智,李大鹏,唐鑫煜,李浩冉,朱伟,黄勇(4607)伊乐藻-高效脱氮微生物协同作用对污染水体氮素脱除机制的影响 至治,李大鹏,唐鑫煜,李浩冉,朱伟,黄勇(4617)零价铁活化过硫酸钠去除废水中的砷(V) 周孜迈、邓文娜,杨艺琳,孙艳秋,王悦,柳听义,王中良(4623) |
| 伊乐薰,高效脱氮微生物协同作用对污染水体氨素脱除机制的影响 |
| 要价铁压化过硫酸钠主除医水由的砷(V) |
| 受け込出化过凱取的台灣及小子的 $\mathbb{P}^{r}(v)$ 周认之, $^{r}(A^{r})$ 周认之, $^{r}(A^{r})$ 第二位,, $^{r}(T^{r})$ 八人, $^{r}(A^{r})$ 月入, $^{r}(A^{r})$ 第二位, $^{r}(A^{r})$ 第二位的, $^{r}(A^{r})$ 第二位的, $^{r}(A^{r})$ 第二位的的, $^{r}(A^{r})$ 第二位的的, $^{r}(A^{r})$ 第二位的的, $^{r}(A^{r})$ 第二位的的, $^{r}(A^{r})$ 第二位的的, $^{r}(A^{r})$ 第二位的的, $^{r}(A^{r})$ 第二位的的 $^{r}(A^{r})$ 第二位的的 $^{r(r)}(r(A^{r}))$ 第二位的的 $^{r(r)}(r(r))$ 第二位的的 |
| 11.2 VI AC 夏口প 科州小中协印云体 |
| 流态对生物添加强化铜化效米的影响 |
| 温度对 SBR 生物脱氮效能及胞外聚合物的影响 |
| 温度对间歇曝气 SBR 短程硝化及硝化活性的影响 刘宏,彭永臻,卢炯元,李慧,南彦斌,王瑾,陈永志(4656) |
| 不同诱导模式下 CAST 工艺的亚硝酸盐型反硝化除磷能力 马娟,王谨,俞小军,张伟,魏雪芬,陈永志,田文清(4664) |
| 伊乐藻-高效脱氮微生物协同作用对污染水体氮素脱除机制的影响 王浩,李正魁,张一品,丁帮璟(4617) 零价铁活化过硫酸钠去除废水中的砷(V) |
| SBR 加载不同粒径磁性活性炭对其污泥颗粒化进程的影响机制 ············ 信欣, 管蕾, 郭俊元, 刘洁, 冯梅, 余婷婷(4679) |
| 常温下厌氧氨氧化污泥的储存及活性恢复 |
| 同步脱氡除磷好氧颗粒污泥培养过程微生物群落变化 |
| 高昌峰 干肘木 楼晓燕 潘凯铃 张丽若 张树军 高永青 张帅(4696) |
| 同步脱氮除鳞好氧颗粒污泥培养过程微生物群洛变化 |
| 则版皿和FE(II) LEDIA-NO/FE(II) LEDIA-NO/FE(II) LEDIA-NO/FE(III) LEDIA-NO/FE(III) 从上,从为,从来降(4700) |
| SBR 系统外加磁场对微生物群落多样性和处理效果的影响 |
| 女徽米铁U 排工切放U 石中厂取版生物研络 |
| 典型集的人饮地区普尔佩生物样洛多样性及差异解析 物治,张国珍,物晚死,武福十,赵郑,张洪伟,张翔(4/33) |
| 表层沉积物中6:2氟调醇生物降解对细菌群洛结构的影响 土升,疾涉,张琪,周茧,户晓筤(4747) |
| 外源环烷酸在土壤中的降解过程及对微生物群落结构的影响 刘艳秋,赵嫣然,刘梦娇,樊灏,黄艺(4756) |
| 1 株异养硝化-好氧反硝化细菌 DK1 的分离鉴定及其脱氮特性 牟东阳, 靳鹏飞, 彭永臻, 李夕耀, 张琼, 何建中(4763) |
| 手序硬工 1、4 种 则转钟更关了手始权势区具卫队的国主 |
| 里庆缙云山4种典型惟傚復盍下水旳梓放迪重及家响囚系 物尤, 坎涛, 女忠厄, 与明(4//4) |
| 里庆给云山 4 种典型恒彼復盖下水的样放进重及影响囚系 ···································· |
| 1 株异养硝化-好氧反硝化细菌 DK1 的分离鉴定及其脱氮特性 · · · · · · · 牟东阳, 斯鵬飞, 彭永臻, 李夕耀, 张琼, 何建中(4763) 重庆缙云山 4 种典型植被覆盖下汞的释放通量及影响因素 · · · · · · · · · · · · · · · · · · · |
| ■ 大 |
| ■庆 |
| ■庆 |
| 李冬冬,仝川,谭立山,陈坤龙,孙东耀,黄佳芳(4782) 地膜覆盖对稻-油轮作农田 CH ₄ 和 N ₂ O 排放的影响 |
| 李冬冬,仝川,谭立山,陈坤龙,孙东耀,黄佳芳(4782) 地膜覆盖对稻-油轮作农田 CH ₄ 和 N ₂ O 排放的影响 |
| 李冬冬,仝川,谭立山,陈坤龙,孙东耀,黄佳芳(4782) 地膜覆盖对稻-油轮作农田 CH ₄ 和 N ₂ O 排放的影响 |
| 李冬冬,仝川,谭立山,陈坤龙,孙东耀,黄佳芳(4782) 地膜覆盖对稻-油轮作农田 CH ₄ 和 N ₂ O 排放的影响 |
| 李冬冬,仝川,谭立山,陈坤龙,孙东耀,黄佳芳(4782) 地膜覆盖对稻-油轮作农田 CH ₄ 和 N ₂ O 排放的影响 ———————————————————————————————————— |
| ************************************* |
| 李冬冬,仝川,谭立山,陈坤龙,孙东耀,黄佳芳(4782) 地膜覆盖对稻-油轮作农田 CH4 和 NQ 排放的影响 石将来,郝庆菊,冯迪,张凯莉,石孝均,江长胜(4790) 西安市公园土壤多环芳烃污染特征、来源及风险评价 周燕,卢新卫(4800) 不同沙生灌木下土壤颗粒及重金属空间分布特征 代豫杰,郭建英,董智,李锦荣,李红丽(4809) 不同水分梯度下 UV-B 辐射对 2 个稻田土壤碳氮转化的影响 蒋梦蝶,王秋敏,徐鹏,周维,邬磊,胡荣桂(4819) 喀斯特灌丛土壤丛枝菌根真菌群落结构及丰度的影响因子 梁月明,苏以荣,何寻阳,陈香碧,胡亚军(4828) 生物炭和草酸活化磷矿粉对镉镍复合污染土壤的应用效果 段然,胡红青,付庆灵,寇长林(4836) 反复冻融与高温老化对砷污染土壤固化稳定化效果的影响 粉洁,钱赵秋,王旌(4844) 皂角苷和柠檬酸联合对污泥中 Cu、Pb 和 Zn 的去除及其稳定性特征 叶涛 黄丽 张克强 张斌 常红 刘恕木 杜连柱(4850) |
| 李冬冬,全川,谭立山,陈坤龙,孙东耀,黄佳芳(4782) 地膜覆盖对稻-油轮作农田 CH ₄ 和 N ₂ 排放的影响 |
| 本冬冬,仝川,谭立山,陈坤龙,孙东耀,黄佳芳(4782) 地膜覆盖对稻-油轮作农田 CH4 和 NQ 排放的影响 |
| 李冬冬,全川,谭立山,陈坤龙,孙东耀,黄佳芳(4782) 地膜覆盖对稻-油轮作农田 CH4 和 NQ 排放的影响 |
| 李冬冬,全川,谭立山,陈坤龙,孙东耀,黄佳芳(4782) 地膜覆盖对稻-油轮作农田 CH4 和 NQ 排放的影响 |
| 李冬冬,全川,谭立山,陈坤龙,孙东耀,黄佳芳(4782) 地膜覆盖对稻-油轮作农田 CH ₄ 和 N ₂ O 排放的影响 |
| 李冬冬,全川,谭立山,陈坤龙,孙东耀,黄佳芳(4782) 地膜覆盖对稻-油轮作农田 CH ₄ 和 N ₂ O 排放的影响 |
| 一些膜覆盖对稻-油轮作农田 CH4 和 N.O 排放的影响 —— |
| 李冬冬,全川,谭立山,陈坤龙,孙东耀,黄佳芳(4782) 地膜覆盖对稻-油轮作农田 CH ₄ 和 N ₂ O 排放的影响 |

浑太河不同水生态区营养盐对底栖硅藻的影响及阈值

张莉1,2,林佳宁2,张远2*,王书平2,臧小苗1,2,张晓娇2,3

(1. 辽宁大学环境学院,沈阳 110036; 2. 中国环境科学研究院流域水生态保护技术研究室,北京 100012; 3. 大连海洋大学水产与生命学院,大连 116023)

关键词: 浑太河; 水生态区; 底栖硅藻; LOWESS; 阈值

中图分类号: X522 文献标识码: A 文章编号: 0250-3301(2017)11-4570-10 **DOI**: 10.13227/j. hjkx. 201704207

Responses of the Benthic Diatom Community to Nutrients and the Identification of Nutrient Thresholds in Three Aquatic Ecoregions of the Huntai River, Northeast China

ZHANG Li^{1,2}, LIN Jia-ning², ZHANG Yuan^{2*}, WANG Shu-ping², ZANG Xiao-miao^{1,2}, ZHANG Xiao-jiao^{2,3}
(1. College of Environmental Sciences, Liaoning University, Shenyang 110036, China; 2. Laboratory of Riverine Ecological Conservation and Technology, Chinese Research Academy of Environmental Sciences, Beijing 100012, China; 3. College of Fisheries and Life Science, Dalian Ocean University, Dalian 116023, China)

Abstract: Benthic diatom communities and nutrient gradients were investigated from 287 sampling sites in three aquatic ecoregions (AE) of the Huntai River to characterize the spatial distribution of nutrients and the benthic diatom communities. Locally weighted scatterplot smoothing (LOWESS) was used to analyze the thresholds for nitrogen and phosphorus. The results showed that: ① The concentration of ammonia nitrogen and total phosphorus significantly differs in the three AEs, and shows a tendency of AE I < AE II < AE III. ② To reveal the structure of benthic diatom communities, various benthic diatom indexes, including the sportive diatom percentage, sensitive diatom percentage, stipitate diatom percentage, Pielou evenness index, specific polluosensitivity index (IPS), biological diatom index (IBD), and generic diatom index (IDG) were analyzed. The sportive diatom percentage varied significantly in AEI, AEII, and AE III, with the highest percentage observed in AE III and the lowest in AE I. However, the other six indexes exhibited an opposite trend. All revealed that AE III has been seriously damaged, while AE I is less disturbed than AEII and AE III. ③ LOWESS fitting curves show thresholds for ammonia nitrogen (NH $_4^+$ -N) in the three aquatic ecoregions as 0. 13, 0. 30, and 1. 98 mg·L $_1^{-1}$, respectively and for total phosphorous (TP) were 0. 04, 0. 06, and 0. 20 mg·L $_1^{-1}$. All results were tested by independent-sample T tests. This study will provide assistance for effectively protecting the benthic diatom community in different aquatic ecoregions and also provide a theoretical basis for water management.

Key words: Huntai River; aquatic ecoregion; benthic diatom; LOWESS; threshold

浑太河流域是辽宁省重要的经济和工业发展区域,近年来面临着严重的河流生态系统结构和功能退化的威胁^[1].由于人类活动的干扰,工业废水、生活污水的大量排放以及农业面源的污染使得该区域的营养盐污染严重^[2],以氨氮为例,点源及面源的入河排放量达到2.1×10⁵ t·a^{-1[3]}. US EPA^[4]认为氮磷营养盐过高是导致河流水环境恶化的重要因

素,其过量输入会引起底栖硅藻群落结构及生态系统机能发生改变,严重影响水生态系统健康. 底栖

收稿日期: 2017-04-20; 修订日期: 2017-05-24

基金项目: 国家 水 体 污 染 控 制 与 治 理 科 技 重 大 专 项 (2012ZX07501001); 国家自然科学基金项目(41571050) 作者简介: 张莉(1993~),女,硕士研究生,主要研究方向为流域水 生态保护技术,E-mail; zhangli_03_18@163.com

* 通信作者,E-mail: zhangyuan@ craes. org. cn

硅藻作为河流生态系统中重要的初级生产者,对水环境中的营养盐非常敏感^[5],其中NH⁴₄-N作为底栖硅藻最易吸收的氮素形态^[6],对底栖硅藻的影响尤为显著.通过墨西哥湾北部的密西西比河、美国佛罗里达州的阿波普卡湖、纽约州的乔治湖的水生态修复^[7],发现同时控制水生态系统 N、P 浓度,可以在一定程度上抑制底栖硅藻的过度繁殖,有效保护水生态系统健康.

生态阈值是指生态系统中某一个或多个关键生 态因子微弱的附加改变导致其从一种状态快速转变 为另一种状态的某个点或一段区间[8]. 合理确定水 生态系统的营养盐阈值,对于保护底栖硅藻群落的 多样性及提高生态系统的稳定性,尤为重要[9,10]. 目前针对生态阈值的研究,多集中于整个流 域[11~14],然而不同的生境条件下底栖硅藻的耐受 性是不同的[15~17],在更小的区域范围内研究该阈 值更具有适用性. 水生态分区是水环境管理及水 生生物多样性保护的重要单元,广泛应用于淡水 水体的生态管理[18]. 有研究表明,太子河不同水 生态区 EPT (ephemeropter、plecoptera、 trichoptera)^[19]、鱼类^[20]的群落结构,及对其产生 显著影响的环境因子均存在差异性,因此,在水生 态区内开展水生生物对环境干扰的响应研究,更 为必要.

LOWESS 是在回归树模型(regression tree, RT) 基础上发展起来的一种稳健的非参数模型,由于可 以很好地描述变量之间的细微关系,且不需要确定 的函数关系[21],在生态系统的阈值研究中得到了广 泛的应用^[22~24]. Chambers^[22]为了解底栖硅藻在加 拿大 4 个不同生态区中的 TN、TP 阈值,利用 LOWESS 对富营养化硅藻指数(trophic diatom index, TDI)、加拿大硅藻指数(eastern Canadian diatom index, IDEC)、香农多样性指数(shannon diversity index)进行阈值估算,研究结果表明3个生 物参数的 TN、TP 阈值不同,而且在不同的生态区 中,河流的 TN、TP 阈值也存在差异. 本研究拟通过 上述方法,利用综合反映底栖硅藻群落结构与功能 的硅藻生物完整性指数 (diatom index of biotic integrity, D-IBI)^[25,26],确立NH₄+-N、TP的阈值,以 期为水生态区的管理提供基础数据与技术支持.

1 材料与方法

1.1 研究区域概况

浑太河位于我国东北部(122°05′~125°17′E、

40°40′~42°10′N),由浑河、太子河两条独立的水系构成.其中浑河发源于清原县湾甸子镇滚马岭西侧,全长415.4 km,流域面积12216 km²;太子河发源于辽宁省新宾满族自治县境内的长白山脉,全长413 km,流域面积13883 km².两条水系在三岔河汇合入大辽河.属温带湿润-半湿润季风气候,年内温差大,最高气温出现在7~8月,最低气温出现在1~2月,降水多集中于夏季.流经抚顺、辽阳、鞍山、本溪等主要工业城市,受人类活动的干扰严重,以山区为主,约占全流域面积的70%.

浑太河流域包括 3 个水生态二级区^[27],分别是水生态 I区(太子河上游-中起伏山地森林-多水区)、水生态 II区(辽河东部-低起伏山地森林-多水区)、水生态 II区(下辽河-平原农作物-少水区). 水生态 I区由长白山脉组成,是太子河支流水系的发源地,多为中起伏山地;水生态 II区是浑河、太子河的主要产流区,建有多座水库(大伙房水库、观音阁水库等),植被覆盖率高,多为小起伏山地;水生态 II区为平原,分布有沈阳、鞍山等工业城市,城市化严重,受人类干扰最为严重,面临着严峻的水生态安全问题.

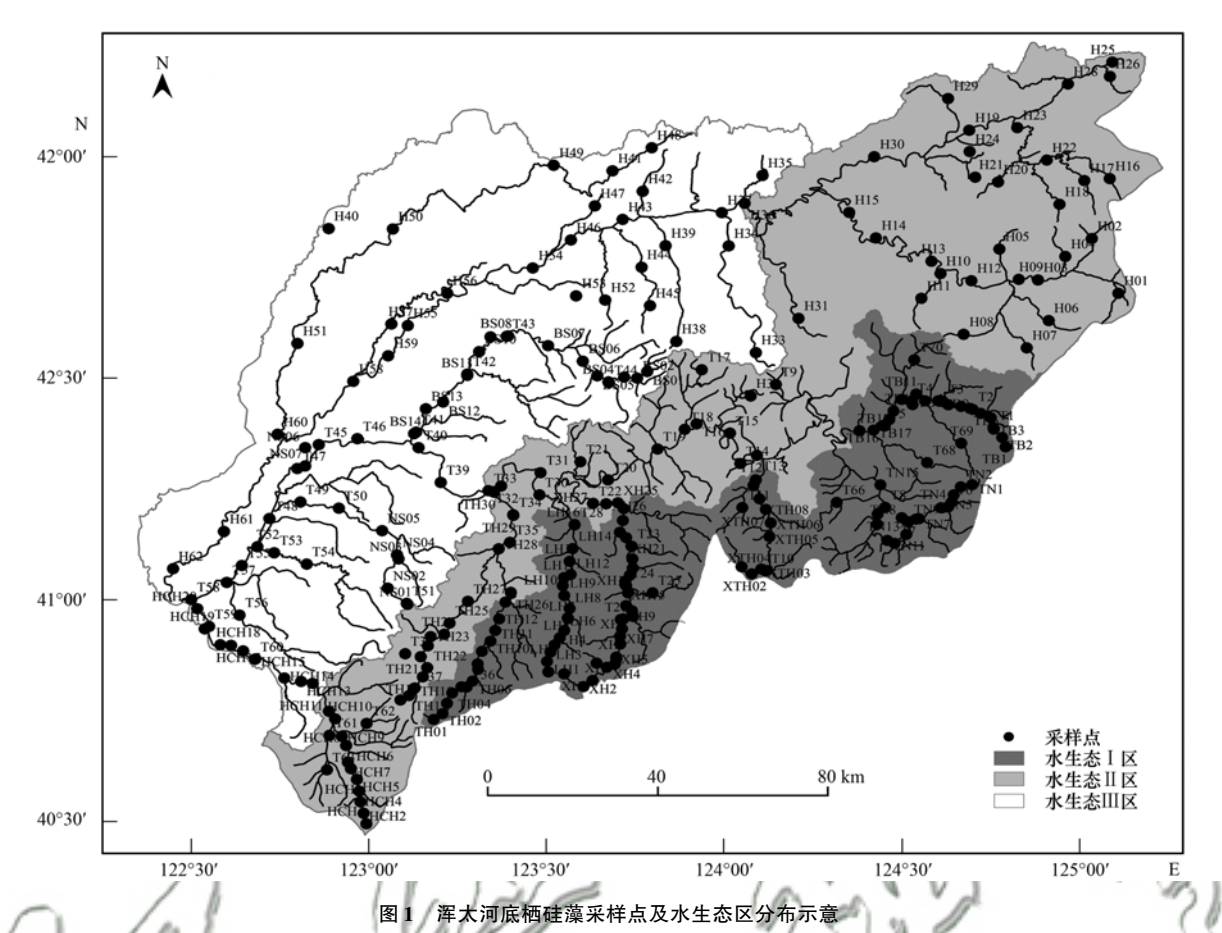
1.2 采样点设置

为了解浑太河底栖硅藻的群落结构及分布特征,调查区域共设置 287 个采样点,其中太子河干流(T)70 个,浑河(H)62 个,太子河支流(北沙 BS、南沙 NS、汤河 TH、小汤河 XTH、海城河 HCH、细河 XH、兰河 LH)共122 个,以及太子河南支15 个、北支18 个.调查于2009 年 5 月至2010 年 5 月进行.水生态 I 区包括采样点122 个,Ⅱ区86 个,Ⅲ区79个.采样点分布详见图1.

1.3 样品的采集与分析

依据 欧盟 标准 方法 EN 13946^[28] 和 EN 14407^[29],在地势开阔且无树荫的河流中,根据河流生境(流速、水深、透明度等)的不同,在 100 m 范围内选取 9 块天然石头,用干净毛刷刷取向阳面硅藻 15.2 cm²(直径 4.4 cm 的圆形塑胶环),置于干净的白瓷盘中,纯净水冲刷至广口塑料瓶,加入 5%(体积分数)的甲醛进行固定后,带回实验室进行分类鉴定.底栖硅藻的鉴定参照文献[30,31].

采用多参数水质分析仪(YSI Incorporated, Yellow Spring, Ohio, 美国) 现场测定水温、pH、DO、浊度、TDS、电导率等,其他指标如NH₄⁺-N、TP、BOD₅、COD、高锰酸盐指数等在48 h 带回实验室,参照文献[32]测定.



g. 1 Location of sampling sites and aquatic ecoregions in the Huntai River

1.4 数据处理

营养盐数据满足方差齐性与正态分布.为研究不同水生态区营养盐因子(NH₄⁺-N、TP)的分布特征,首先利用箱体图分析NH₄⁺-N、TP 在不同水生态区的分布范围,其次对各水生态区的营养盐因子进行单因素方差分析(one-way ANOVA),研究其浓度在3个水生态区间的差异性.为分析不同水生态区生物参数的分布情况,箱体图分析各生物参数在3个水生态区的分布特征,K-W 非参数检验各生物参数在不同水生态区间的差异性.为研究不同生物参数对NH₄⁺-N、TP 作出的响应关系,将各生物参数与NH₄⁺-N、TP 进行 Pearson 相关性分析.为确定3个水生态区NH₄⁺-N、TP 的阈值,利用 LOWESS 分别以NH₄⁺-N、TP 为横坐标,以 D-IBI 为纵坐标,进行曲线拟合.

其中,生物参数的选择,参考周莹等^[33]采取的综合法选择参照点位与受损点位,通过分布范围、判别能力、相关性分析筛选生物参数(表1),确定构成硅藻生物完整性指数的生物参数;采用比值法^[34]计算各采样点位的 D-IBI 值,计算过程如下:

(1)生物参数标准化

①随干扰增强而增大的参数:

 $P_{ij} = (\max O_{ij} - O_{ij})/(\max O_{ij} - S_{i5}) \times 100$ 式中, P_{ij} 表示第 i 个参数在第 j 个采样点的标准化 参数值, O_{ij} 表示第 i 个参数在第 j 个采样点的原始观 测值, $\max O_{ij}$ 表示第 i 个参数在 m 个采样点中的最 大值, S_{i5} 表示第 i 个参数的标准化阈值,取全部采样 点中第 i 个参数 5% 分位数的原始观测值; i = 1,2, …, n; j = 1,2, …, m.

②随干扰增强而变小的参数:

$$P_{ij} = O_{ij}/S_{i95} \times 100$$

式中, P_{ij} 表示第 i 个参数在第 j 个采样点的标准化 参数值, O_{ij} 表示第 i 个参数在第 j 个采样点的原始观 测值, S_{i0} 表示第 i 个参数的标准化阈值,取全部采样点中第 i 个参数 95% 分位数的原始观测值;i = 1,2,…,n; j = 1,2,…,m.

(2) D-IBI 值计算

各点位的 D-IBI 值即该点位各标准化参数的均值:

$$I_j = \frac{1}{n} \sum_{i=1}^n P_{ij}$$

式中, I_i 表示各点位 D-IBI 值.

| 表 1 | 浑太河硅藻完整性指数(D-IBI)构成体系候选参数及计算方法 |
|-----|--------------------------------|
| | |

| Table 1 | Description and | calculation of | f candidate | metrics for | D-IRI in the | Huntai River |
|---------|-----------------|----------------|-------------|-------------|--------------|--------------|
| | | | | | | |

| 编号 | 生物参数 | 计算方法 | 对干扰的响应 |
|-----|---------------------------------------|---|--------|
| M1 | 运动性硅藻百分比 | 运动性硅藻百分比 = 舟形藻属(<i>Navicula</i> sp.) + 菱形藻属(<i>Nitzschia</i> sp.) + 双 菱藻属(<i>Surirella</i> sp.)的相对丰度 | 上升 |
| M2 | 敏感性硅藻百分比 | 敏感性硅藻百分比 = \sum (敏感性硅藻细胞数/藻类总细胞数) \times 100%,其中硅藻耐污值(1~4)大于等于3的是敏感性硅藻 | 下降 |
| М3 | 具柄硅藻百分比 | 具柄硅藻百分比 = (异极藻属(Gomphonema sp.) + 楔形藻属(Licmophora sp.) + 曲壳藻属(Achnanthes sp.))的相对丰度 | 下降 |
| M4 | Shannon-Wiener 指数(H) | $H = -\sum (n_i/N) \ln(n_i/N)$,式中 $,n_i$ 为种 i 的细胞数量 $,N$ 为细胞总数 | 下降 |
| M5 | 属的总数量 | 属的总数量 = 所鉴定到属的总数 | 下降 |
| M6 | 硅藻总分类单元数 | 种水平上的硅藻物种数量 | 下降 |
| M7 | 硅藻商 | 硅藻商 = 硅藻中心纲个体总数/硅藻羽纹纲个体总数 | 下降 |
| M8 | 硅藻营养化指数(TDI) | TDI = (WMS ×25) -25, WMS = $\sum a_j v_j i_j / \sum a_j v_j$, 式中, a_j 为种 j 的丰度, v_j 为种 j 的富营养化敏感指示值,在 1 ~ 3 间变化, i_j 为种 j 的污染敏感度,在 1 ~ 5 间变化 | 上升 |
| М9 | IDP 硅藻指数(pampean diatom index,IDP) | IDP = $\sum I_{idp} j A_j / \sum A_j$, 式中, I_{idp} 为种 j 的特定值: $0 \sim 4$, A_j 为种 j 的相对丰度 | 下降 |
| M10 | Pielou 均匀度指数(J) | $J = H/\ln S$,式中, H 为 Shannon-Wiener 指数, S 为硅藻总种(属)数 | 下降 |
| M11 | 特定污染敏感指数(IPS) | Omnidia 7. 0 | 下降 |
| M12 | 硅藻生物指数(IBD) | Omnidia 7. 0 | 下降 |
| M13 | 硅藻属指数(IDG) | Omnidia 7. 0 | 下降 |

单因素方差分析、K-W 非参数检验、Pearson 相关性分析均在 SPSS 19.0 上进行,箱体图在 Origin 8.0 中进行,LOWESS 在 R. 3.1.2 中完成.

2 结果与分析

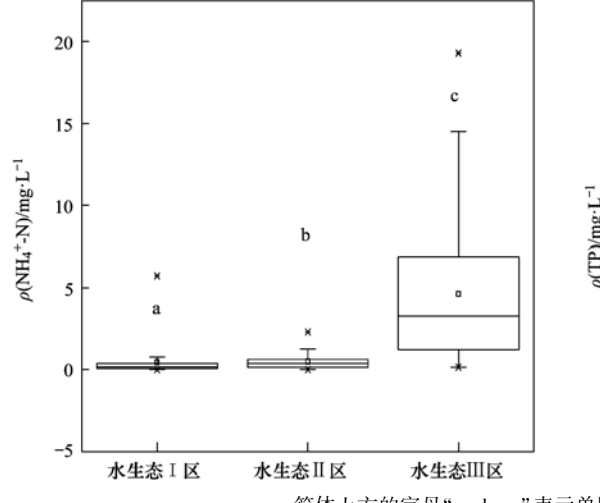
2.1 不同水生态区营养盐因子特征分析

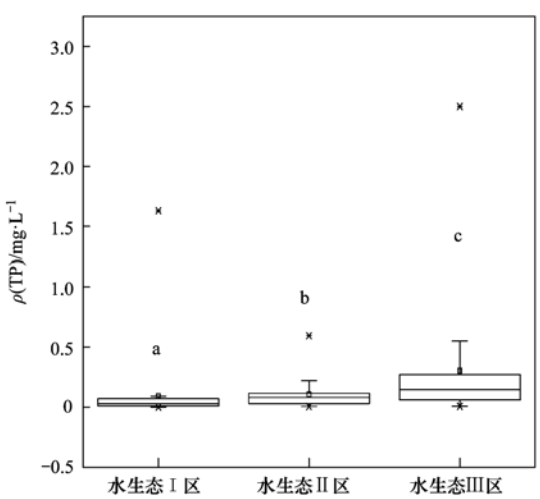
由图 2 可知,水生态I区、II区、III区的 NH_4^+ -N平均浓度依次为 0. 19、0. 37、1. 09 mg·L⁻¹,呈现出水生态II区 <水生态II区 <水生态II区 <水生态II区 <水生态II区 <水生态II区 = 3 个水生态区间差异显著 (P <

- 2.2 底栖硅藻群落结构特征及与营养盐因子的关系分析

2.2.1 底栖硅藻的群落结构特征

浑太河共采集并鉴定出底栖硅藻 233 种,隶属于 2 纲 5 目 10 科 22 属. 其中,水生态 I 区 159 种,以等片藻属(Diatoma sp.)、桥弯藻属(Cymbella





箱体上方的字母"a、b、c"表示单因素方差分析的组间差异

图 2 浑太河 3 个水生态区NH₄⁺-N、TP 分布箱体图

Fig. 2 Box-whisker plot of NH₄⁺-N and TP in different AEs of the Huntai River

sp.)、脆杆藻属(Fragilaria sp.)为主(图 3),分别 占水生态 I 区总个体数的 29.89%、18.24%、 17.80%; 优势种为扁圆卵形藻(Cocconeis placentula)、扁圆卵形藻线性变种(Cocconeis placentula var. linearis)、偏肿桥弯藻 (Cymbella ventricosa)、近缘桥弯藻(Cymbella affinis)、霍克曲 壳藻 (Achnanthes hauckiana)、小型异极藻 (Gomphonema parvulum)、缠结异极藻矮小变种 (Gomphonema intricatum var. pumila)、汉式桥弯藻 (Cymbella hantzschiana)、钝脆杆藻(Fragilaria capucina)、肘状针杆藻缢缩变种(Synedra ulna var. constracta). 水生态 II 区 210 种,以舟形藻属 (Navicula sp.)、等片藻属(Diatoma sp.)、桥弯藻 属(Cymbella sp.)为主,各占33.98%、23.23%、 14.89%, 优势种为简单舟形藻(Navicula simplex)、 沃切里脆杆藻(Fragilaria vaucheriae)、普通等片藻 (Diatoma vulgaris)、胡斯特桥弯藻(Cymbella hustedtii)、扁圆卵形藻(Cocconeis placentula). 水生 态Ⅲ区共采集到底栖硅藻物种数为180种,等片藻 属(Diatoma sp.)、舟形藻属(Navicula sp.)和针杆 藻属(Synedra sp.)相对丰度较高,分别占据的比例。 为 29.95%、18.86%、17.09%;优势种为梅尼小环 藻(Cyclotella meneghiniana)、钝脆杆藻(Fragilaria capucina)、简单舟形藻(Navicula simplex)、小片菱 形藻(Nitzschia frustulum).

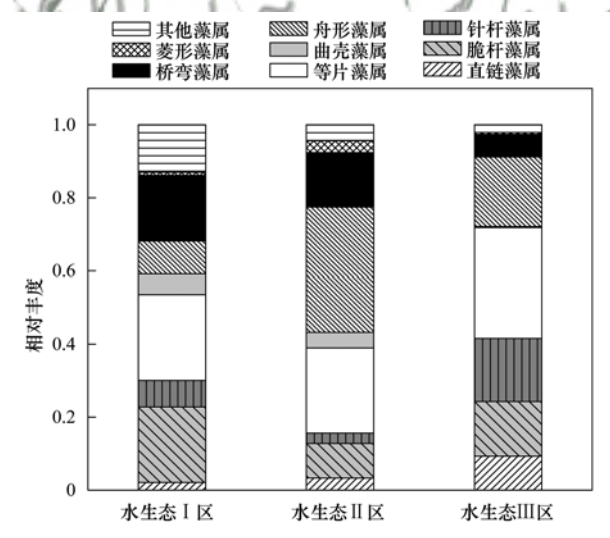


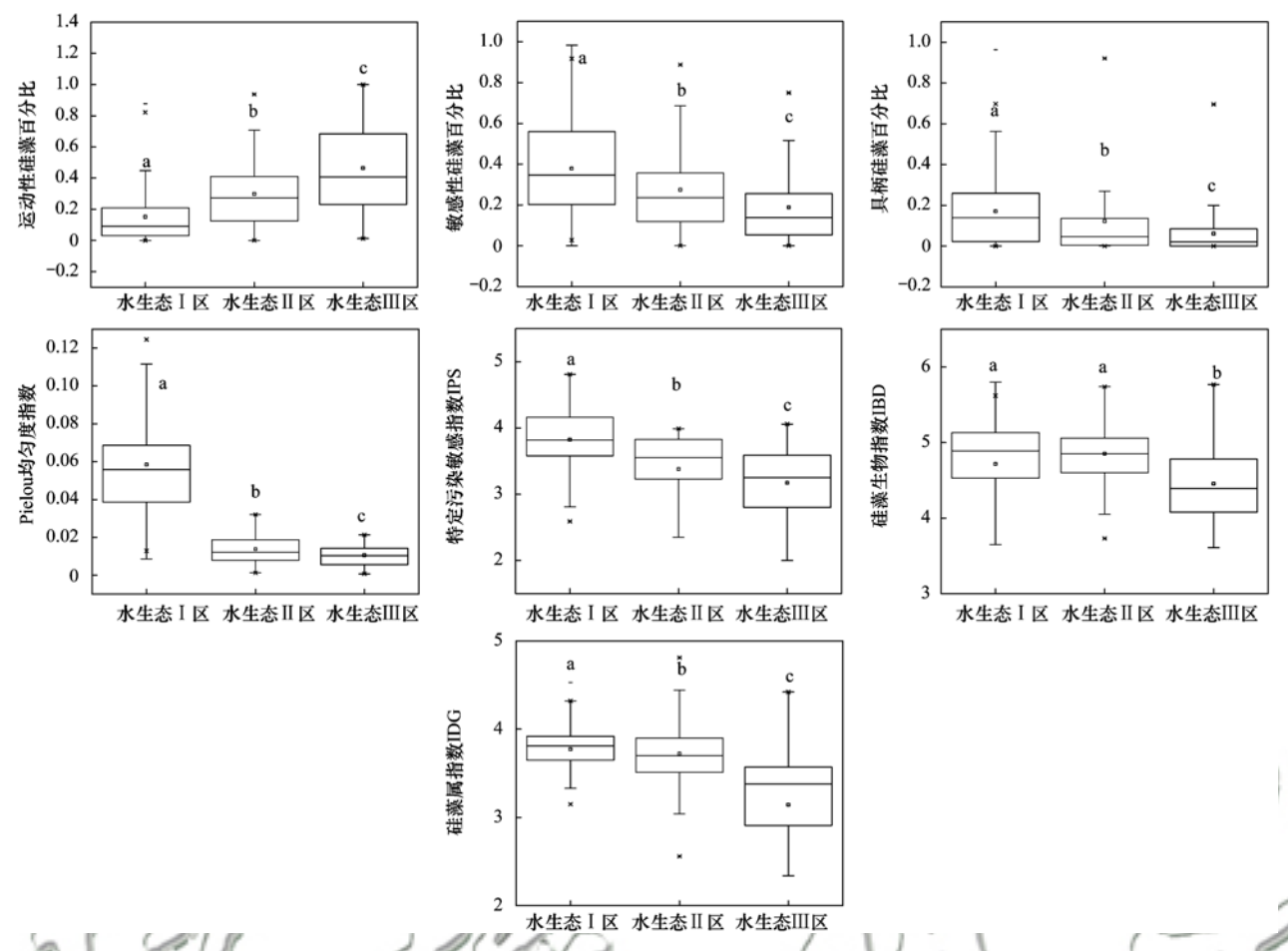
图 3 浑太河不同水生态区底栖硅藻群落结构

Fig. 3 Benthic diatom community structure in different AEs of the Huntai River

2.2.2 营养盐对底栖硅藻群落的影响

将13个底栖硅藻候选生物参数进行分布范围、 辨别能力及相关性分析,共筛选出7个生物参数,分 别为 M1(运动性硅藻百分比)、M2(敏感性硅藻百分比)、M3(具柄硅藻百分比)、M10(Pielou 均匀度指数)、M11(特定污染敏感指数 IPS)、M12(硅藻生物指数 IBD)、M13(硅藻属指数 IDG).由图 4 可见,7 个生物参数在不同水生态区之间存在差异.除硅藻生物指数 IBD 以外,其余 6 个生物参数在 3 个水生态区间均差异显著.运动性硅藻百分比在 3 个水生态区中逐渐升高,水生态II区的运动性硅藻百分比显著高于水生态I区、II区.敏感性硅藻百分比、具柄硅藻百分比、特定污染敏感指数 IPS、Pielou 均匀度指数、硅藻属指数 IDG 在水生态I区均显著高于水生态II区、II区。上述 7 个生物参数在 3 个水生态区的变化趋势与该参数对干扰的响应均是一致的,说明水生态II区受到的干扰程度高于水生态I区、II区,水生态II区受到的干扰相对较小.

Pearson 相关性分析可知,不同生物参数在同一 水生态区受NH4+-N、TP的影响程度不同,而同一生 物参数在不同的水生态区受NH,*-N、TP 的影响程 度也是不同的(表2). 对于水生态 I 区,NH₄+-N显 著影响敏感性硅藻百分比(P<0.05)、具柄硅藻百 分比(P < 0.05)、Pielou 均匀度指数(P < 0.01)的 变化,随着NH4+N浓度的升高,敏感性硅藻百分比、 具柄硅藻百分比显著下降,而 Pielou 均匀度指数显 著上升; TP 显著影响运动性硅藻百分比的变化(P <0.05),运动性硅藻百分比随着 TP 浓度的升高而 显著上升. 水生态 Ⅱ区中,运动性硅藻百分比及特 定污染敏感指数 IPS 受NH, -N、TP 浓度的共同影 响,随着NH₄ -N、TP浓度的上升,运动性硅藻百分 比与特定污染敏感指数 IPS 表现出相反的变化,运 动性硅藻百分比显著增加(P<0.05),而特定污染 敏感指数 IPS 显著下降 (P < 0.01); 具柄硅藻百分 比仅与 NH_4^+ -N显著负相关(P < 0.05); 敏感性硅藻 百分比与硅藻生物指数 IBD 仅与 TP 显著相关,并 随着 TP 浓度的升高,敏感性硅藻百分比与硅藻生 物指数 IBD 均显著下降(P < 0.05). 对于水生态 **Ⅲ** 区,运动性硅藻百分比及硅藻属指数 IDG 受 TP 浓 度影响显著(P<0.05),随着 TP 浓度的升高,运动 性硅藻百分比显著上升(P<0.05),硅藻属指数 IDG 显著下降(P < 0.01); Pielou 均匀度指数同时 受到NH₄⁺-N、TP的影响,并随着NH₄⁺-N、TP浓度的 升高而显著下降(P<0.05),值的注意的是,该指数 受NH₄+-N浓度的影响在水生态 I 区与Ⅲ区间是相 反的,这可能与水生态 I 区、水生态 II 区的NH₄ -N 浓度范围不同有关.



箱体上方的字母"a""b""c"表示 K-W 非参数检验的组间差异

图 4 浑太河 7 个生物参数在 3 个水生态区的分布特征及差异显著性比较

Fig. 4 Characteristics of the seven diatom metrics and a comparison of the significance in the three AEs of the Huntai River

表 2 浑太河 3 个水生态区 $\mathbf{NH}_{\bullet}^{+}$ -N、 \mathbf{TP} 浓度与 7 个生物参数之间的 Pearson 相关性 $^{1)}$

Table 2 Pearson's correlation between the nutrients and diatom metrics in the three AEs of the Huntai River

| 1 // | | | | | | |
|--------------|---------------------------------|----------|--------------------|------------|---------------------------------|------------|
| 16 H | 水生态Ⅰ区 | | 水生态Ⅱ区 | | 水生态Ⅲ区 | |
| 项目 | NH ₄ ⁺ -N | TP | NH ₄ -N | TP | NH ₄ ⁺ -N | TP |
| 运动性硅藻百分比 | -0.054 | 0. 278 * | 0. 288 * | 0. 269 * | 0. 023 | 0. 258 * |
| 敏感性硅藻百分比 | -0. 243 * | -0.035 | -0.099 | -0.231 * | -0.157 | -0.122 |
| 具柄硅藻百分比 | -0. 244 * | -0.128 | -0.267* | -0.134 | 0. 036 | 0.087 |
| Pielou 均匀度指数 | 0. 419 * * | 0.071 | 0.062 | -0.059 | -0.304* | -0.324 * * |
| 特定污染敏感指数 IPS | 0. 116 | 0.042 | -0.319 * * | -0.364 * * | -0.082 | -0.203 |
| 硅藻生物指数 IBD | 0. 129 | -0.011 | -0.192 | -0. 253 * | -0.068 | -0.130 |
| 硅藻属指数 IDG | 0. 150 | -0.124 | -0.209 | -0.141 | -0.071 | -0.379 * * |

1)*表示 P < 0.05, **表示 P < 0.01

2.3 不同水生态区营养盐阈值分析

LOWESS 拟合曲线表明浑太河 3 个水生态区的 NH_4^+ -N、TP 拐点存在差异(图 5). NH_4^+ -N在水生态 I 区、II 区、III 区的拐点值分别为 0. 13、0. 30、1. 98 $mg \cdot L^{-1}$,经独立样本 T 检验可知以上拐点两侧 D-IBI 值差异性显著(P < 0.05). TP 在 3 个水生态 区的拐点分别为 0. 04、0. 06、0. 20 $mg \cdot L^{-1}$,独立样本 T 检验结果表明,上述拐点两侧 D-IBI 值存在显

著性差异(P<0.05).

3 讨论

3.1 浑太河不同水生态区营养盐特征

本研究表明,浑太河 3 个水生态区 NH_4^+ -N、TP浓度表现为水生态 I 区 < 水生态 I 区 < 水生态 I 区 < 水生态 I 区. 水生态 I 区以中起伏的山地森林为主,植被覆盖率较高;水生态 I 区以低起伏的山地为主,开发

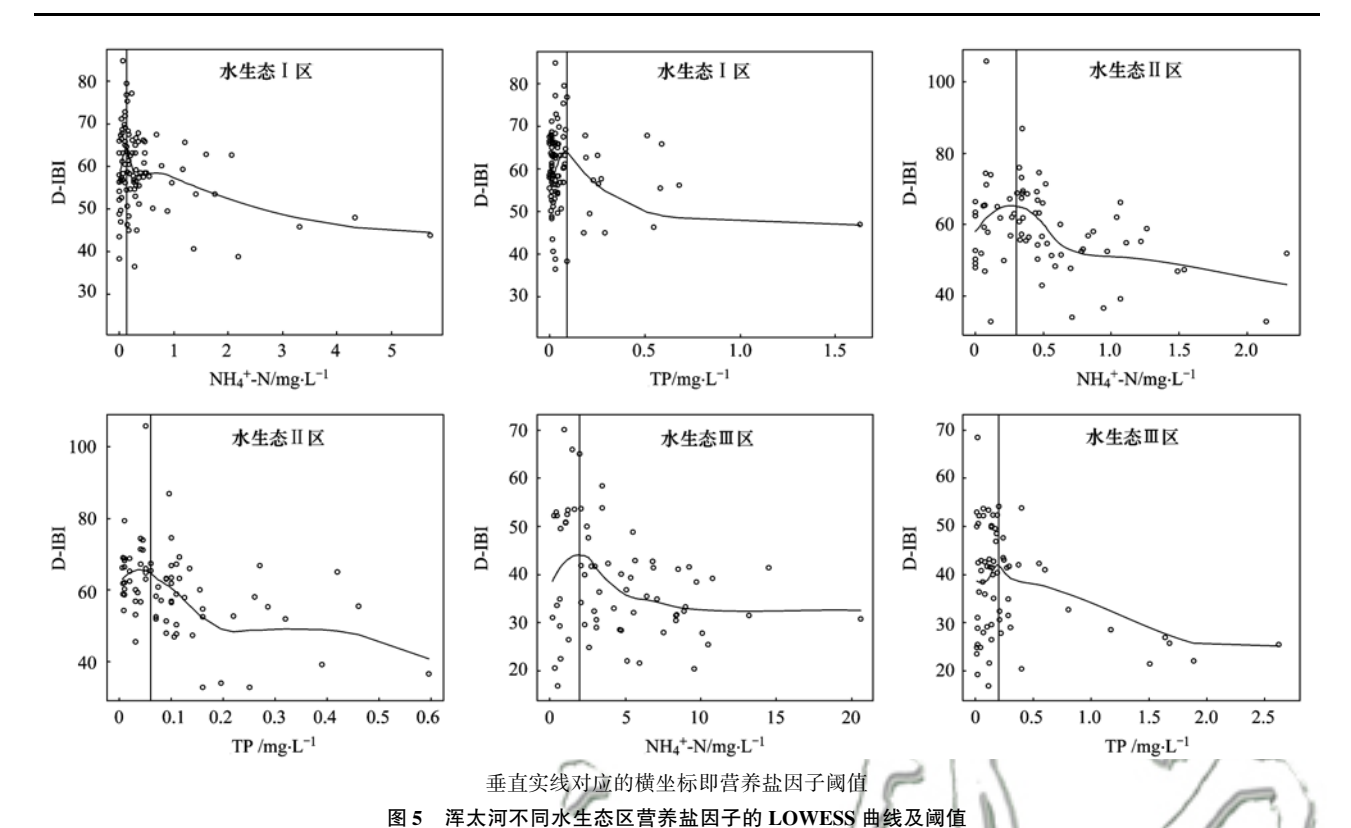


Fig. 5 LOWESS fitting curves and nutrient thresholds for different AEs of the Huntai River

明显且土地利用以农业用地为主;而水生态且区以平原为主,人口密度较高,工业污染严重,城镇化严重. 与水生态 I 区、II 区相比较,水生态 II 区受到的人类干扰更为严重,营养盐浓度也较高,该水生态区的河流属于典型的城镇化河流¹³⁵¹. 通过研究重庆两江新区城镇化严重区域与未经历大规模城镇化地区河流水质的差异,Luo等^[36]发现城镇化严重区域水体的营养盐浓度显著高于未经历大规模城镇化区域营养盐浓度,前者的NH₄⁴-N浓度高达后者的10倍,TP浓度是后者的3倍左右,而且城镇化是导致营养盐浓度显著升高的重要原因. 另外,建筑活动可能会降低土壤的蓄水能力,大量污废水直接随着地表径流排入河流,导致水体的营养盐负荷增加^[37].

3.2 浑太河不同水生态区营养盐对底栖硅藻的影响运动性硅藻百分比、敏感性硅藻百分比、具柄硅藻百分比、Pielou均匀度指数、特定污染敏感指数 IPS、硅藻生物指数 IBD、硅藻属指数 IDG 这7个生物参数较全面地反映了底栖硅藻的群落结构特征,本研究发现,随着干扰程度的增大,敏感性硅藻百分比、具柄硅藻百分比、Pielou均匀度指数、特定污染敏感指数 IPS、硅藻生物指数 IBD、硅藻属指数 IDG 均呈现出下降的趋势,而运动性硅藻百分比显著增大.

运动性硅藻百分比、敏感性硅藻百分比和具柄 硅藻百分比均在属的水平上反映了水体中底栖硅藻 对污染物和生境扰动性作出的不同响应[38]. 运动 性硅藻百分比反映的是舟形藻属、菱形藻属与双菱 藻属的相对丰度,该指数在水生态Ⅲ区中最大,说明 水生态Ⅲ区受到人类的干扰程度最大,而且在3个 水生态区中该指数均与TP显著正相关,由此TP是 影响运动性硅藻百分比的一个重要因素. 具柄硅藻 百分比显示了异极藻属、楔形藻属、曲壳藻属的相 对丰度状况,敏感性硅藻百分比是基于底栖硅藻的 耐污值(PTI≥3)计算得出的硅藻相对丰度,这两个 指数越低,说明该水生态区受人类的干扰越大. 特 定污染敏感指数 IPS、硅藻生物指数 IBD、硅藻属指 数 IDG 是在河流健康评价中应用较为广泛的硅藻 指数. 硅藻生物指数 IBD 对水体的富营养状况、有 机污染物浓度变化状况及水体酸化程度具有较好的 指示作用[39]: 硅藻属指数 IDG 以属水平的底栖硅 藻指示河流的水生态健康状况,该值越高,水体的受 污染程度越轻[40];特定污染敏感指数 IPS 基于底栖 硅藻特殊污染敏感种的耐污值[41],从敏感种的角度 指示水体的受污染状况. 上述3个指数均在水生态 Ⅲ区最低,说明水生态Ⅲ区水质状况相对较差.

在不同的水生态区中,NH₄⁺-N、TP 对底栖硅藻 特征指标的影响程度是不同的,如敏感性硅藻百分 比在水生态 I 区仅受到NH₄-N的显著负影响,在水生态 II 区中仅受 TP 的显著负影响; 硅藻属指数 IDG 仅在水生态 III 区受到 TP 的显著负影响. 因此针对不同的水生态区分别建立NH₄-N、TP 的生态阈值可以更有效地保护底栖硅藻群落及多样性,达到保护河流水生态系统健康的目的.

3.3 不同水生态区底栖硅藻的营养盐阈值分析

D-IBI 在水质生物学评价中应用较为广 泛[25,26],综合多个生物参数,系统地反映了底栖硅 藻群落对环境变化作出的响应,通过推导该指数的 营养盐阈值可起到预警和保护底栖硅藻群落的作 用. 本研究以底栖硅藻为研究对象,利用 LOWESS 研究 D-IBI 的NH, -N、TP 阈值, 发现浑太河 3 个水 生态区的生态阈值存在差异, D-IBI 在水生态 I 区 的NH₄+-N、TP 阈值远低于水生态Ⅲ区. 水生态 Ⅰ 区、Ⅱ区的 TP 阈值分别为 0.04 mg·L⁻¹、0.06 mg·L⁻¹,远低于 Cao 等^[13]利用 TITAN 推导出的滇 池浮游植物的 TP 负响应阈值(131.5 μg·L⁻¹),而 水生态Ⅲ区 TP 阈值(0.20 mg·L-1)要高于该负响 应阈值. Black 等[12] 通过 RF 对美国农业流域溪流 的多个硅藻指数进行 TP 阈值计算,发现 TP 阈值范 围为 0.03~0.28 mg·L⁻¹,这与浑太河 3个水生态区 D-IBI 的 TP 阈值范围(0.04~0.20 mg·L⁻¹)是相似 的. 有关NH, -N阈值的研究相对较少, 学者更多地 关注于 TN 阈值的确立[14,22,24],但是NH, -N作为底 栖硅藻最容易吸收的氮素形态[6],对底栖硅藻的生 长繁殖起着更重要的作用,因此有必要更多地关注 于底栖硅藻NH4+N阈值的制定. 本课题组在研究浑 河底栖硅藻的NH4-N阈值时发现(未发表),该河流 的NH₄ -N阈值为 0.43 mg·L⁻¹,该值介于本研究的 水生态Ⅱ区与水生态Ⅲ区NH,*-N阈值之间,远高于 水生态 [区. 由于浑太河流域底栖硅藻群落具有空 间异质性,采取统一的保护阈值,不足以起到真正保 护底栖硅藻群落的目的,因此在水生态区内研究营 养盐阈值,可以有针对性地治理和保护河流水生态 系统.

4 结论

- (1) 浑太河 3 个水生态区间营养盐浓度存在显著差异,且呈现出水生态 I 区 < 水生态 II 区 <
- (2)底栖硅藻特征指标(运动性硅藻百分比、 敏感性硅藻百分比、具柄硅藻百分比、Pielou 均匀

度指数、特定污染敏感指数 IPS、硅藻生物指数 IBD、硅藻属指数 IDG)均在 3 个水生态区间存在差异,运动性硅藻百分比呈现出水生态 I 区 < 水生态 II 区 < 水生态 II 区 < 水生态 II 区 < 水生态 II 区 o 交化,而其余 6 个生物参数的变化与之相反.

(3) 经 LOWESS 拟合和独立样本 T 检验,发现 3 个水生态区底栖硅藻的 NH_4^+ -N、TP 保护阈值不同,水生态 I 区、II 区、II 区的 NH_4^+ -N 阈值分别为 0.13、0.30、1.98 $mg \cdot L^{-1}$, TP 阈值分别为 0.04、0.06、0.20 $mg \cdot L^{-1}$.

致谢:本研究在 GIS 图的绘制中得到了北京林 业大学林学院夏会娟博士的指导与帮助,在此表示 感谢!

参考文献:

- [1] Zhang Y, Guo F, Meng W, et al. Water quality assessment and source identification of Daliao river basin using multivariate statistical methods [J]. Environmental Monitoring and Assessment, 2009, 152(1-4): 105-121.
- Bu H M, Meng W, Zhang Y, et al. Relationships between land use patterns and water quality in the Taizi River basin, China
 [J]. Ecological Indicators, 2014, 41: 187-197.
- [3] 付意成,魏传江,臧文斌,等. 浑太河污染物入河控制量研究[J]. 水电能源科学,2010,28(12):21-25.
 Fu Y C, Wei C J, Zang W B, et al. Research on confaminant control quantity of entering into Huntai River[J]. International Journal Hydroelectric Energy, 2010, 28(12):21-25.
- [4] US Environmental Protection Agency. National water quality inventory; 2000 report[R]. EPA-841-R-02-001. Washington; US Environmental Protection Agency, 2002.
- [5] John J. Assessment of river health in Australia by diatom assemblages; a review [J]. Oceanological and Hydrobiological Studies, 2004, 33(2); 95-104.
- [6] 史乾. 多种硅藻营养盐结构的初步研究[D]. 青岛: 中国海洋大学, 2012. 1-9.
 Shi Q. Research on nutrient structure of multiple diatoms[D].
 Qingdao: Ocean University of China, 2012. 1-9.
- [7] Conley D J, Paerl H W, Howarth R W, et al. Controlling eutrophication: nitrogen and phosphorus [J]. Science, 2009, 323(5917): 1014-1015.
- [8] Groffman P M, Baron J S, Blett T, et al. Ecological thresholds: the key to successful environmental management or an important concept with no practical application? [J]. Ecosystems, 2006, 9(1): 1-13.
- [9] Smith A J, Tran C P. A weight-of-evidence approach to define nutrient criteria protective of aquatic life in large rivers [J]. Journal of the North American Benthological Society, 2010, 29 (3): 875-891.
- [10] Zheng L, Gerritsen J, Beckman J, et al. Land use, geology, enrichment, and stream biota in the Eastern Ridge and Valley Ecoregion: implications for nutrient criteria development [J]. Journal of the American Water Resources Association, 2008, 44 (6): 1521-1536.
- [11] Chuševe R, Nygård H, Vaičiūte D, et al. Application of signal

- detection theory approach for setting thresholds in benthic quality assessments [J]. Ecological Indicators, 2016, 60: 420-427.
- [12] Black R W, Moran P W, Frankforter J D. Response of algal metrics to nutrients and physical factors and identification of nutrient thresholds in agricultural streams [J]. Environmental Monitoring Assessment, 2011, 175(1-4): 397-417.
- [13] Cao X F, Wang J, Liao J Q, et al. The threshold responses of phytoplankton community to nutrient gradient in a shallow eutrophic Chinese lake [J]. Ecological Indicators, 2016, 61: 258-267.
- [14] 汤婷, 任泽, 唐涛, 等. 基于附石硅藻的三峡水库入库支流 氮、磷阈值[J]. 应用生态学报, 2016, **27**(8): 2670-2678. Tang T, Ren Z, Tang T, *et al.* Total nitrogen and total phosphorus thresholds for epilithic diatom assemblages in inflow tributaries of the Three Gorges Reservoir, China[J]. Chinese Journal of Applied Ecology, 2016, **27**(8): 2670-2678.
- [15] 周川, 蔚建军, 付莉, 等. 三峡库区支流澎溪河水华高发期 环境因子和浮游藻类的时空特征及其关系[J]. 环境科学, 2016, 37(3): 873-883. Zhou C, Wei J J, Fu L, et al. Temporal and spatial distribution of environmental factors and phytoplankton during algal bloom season in Pengxi River, Three Gorges Reservoir [J]. Environmental Science, 2016, 37(3): 873-883.
- [16] 任杰,周涛,朱广伟,等. 苏南水库硅藻群落结构特征及其控制因素[J]. 环境科学, 2016, 37(5): 1742-1753.

 Ren J, Zhou T, Zhu G W, et al. Community structure characteristics of diatom in reservoirs located in the south of Jiangsu Province, China and its control factors [J]. Environmental Science, 2016, 37(5): 1742-1753.
- [17] 臧小苗、张远、林佳宁、等、滑石矿开采对着生藻群落结构和水环境的影响[J]. 环境科学,2017,38,doi:10.13227/j.hjkx.201701124.

 Zang X M, Zhang Y, Lin J N, et al. Impact of talc ore mining on periphyton community structure and water environment[J]. Environmental Science, 2017, 38, doi: 10.13227/j.hjkx.201701124.
- [18] Omernik J M. Ecoregions of the conterminous United States [J].
 Annals of the Association of American geographers, 1987, 77
 (1): 118-125.
- 落时空分布特征[J]. 环境科学研究, 2015, **28**(12): 1833-1842.

 Li F L, Ding S, Zhang Y, *et al*. Spatial and temporal distribution of EPT community in different freshwater ecoregions
 - in Taizi River Basin[J]. Research of Environmental Sciences, 2015, **28**(12): 1833-1842. 王云涛, 张远, 高欣, 等. 太子河流域不同水生态区鱼类群

李飞龙, 丁森, 张远, 等. 太子河流域不同水生态区 EPT 群

- 落分布与环境因子的关联性[J]. 环境科学研究, 2016, **29** (2): 192-201.

 Wang Y T, Zhang Y, Gao X, et al. Analysis of fish community distribution and its relationship with environmental factors in different freshwater eco-regions of Taizi River Basin [J].
- [21] Cleveland W S. Robust locally weighted regression and smoothing scatterplots[J]. Journal of the American Statistical Association, 1979, 74(368): 829-836.

Research of Environmental Sciences, 2016, 29(2): 192-201.

[22] Chambers P A, McGoldrick D J, Brua R B, et al. Development

- of environmental thresholds for nitrogen and phosphorus in streams[J]. Journal of Environmental Quality, 2012, 41(1):7-20
- [23] 张浩, 丁森, 张远, 等. 西辽河流域鱼类生物完整性指数评价及与环境因子的关系[J]. 湖泊科学, 2015, **27**(5): 829-839.

 Theng H. Ding S. Theng Y. et al. Assessment of the fish index
 - Zhang H, Ding S, Zhang Y, et al. Assessment of the fish index of biotic integrity and its relationship with environmental factors in the Xiliao River Basin[J]. Journal of Lake Sciences, 2015, 27 (5): 829-839.
- [24] 吴东浩,于海燕,王海燕,等.基于大型底栖无脊椎动物确定河流营养盐浓度阈值——以西苕溪上游流域为例[J].应用生态学报,2010,21(2):483-488.

 Wu D H, Yu H Y, Wang H Y, et al. Estimation of river nutrients thresholds based on benthic macroinvertebrate assemblages: a case study in the upper reaches of Xitiao Stream in Zhejiang, China [J]. Chinese Journal of Applied Ecology, 2010,21(2):483-488.
- [25] 李国忱, 汪星, 刘录三, 等. 基于硅藻完整性指数的辽河上游水质生物学评价[J]. 环境科学研究, 2012, 25(8): 852-858.
 Li G C, Wang X, Lin L S, et al. Bioassessment of water quality based on diatom index of biotic integrity in the upstream of Liaohe River[J]. Research of Environmental Sciences, 2012, 25(8): 852-858.
- [26] Fore L S, Grafe C. Using diatoms to assess the biological condition of large rivers in Idaho (U. S. A.) [J]. Freshwater Biology, 2002, 47(10): 2015-2037.
- [27] 孟伟, 张远, 郑丙辉. 辽河流域水生态分区研究[J]. 环境科学学报, 2007, 27(6); 911-918.

 Meng W, Zhang Y, Zheng B H. Study of aquatic ecoregion in Liao River Basin[J]. Acta Scientiae Circumstantiae, 2007, 27 (6): 911-918.
- [28] EN 13946-2004 Water quality-Guidance standard for the routine sampling and pretreatment of benthic diatoms from rivers [S].
- [29] EN 14407- 2004 Water quality-Guidance standard for the identification, enumeration and interpretation of benthic diatom samples from running waters [S].
- [30] 齐雨藻. 中国淡水藻志; 第四卷-硅藻门(中心纲)[M]. 北京; 科学出版社, 1995.
- [31] 齐雨藻,李家英. 中国淡水藻志:第十卷-硅藻门(羽纹纲) [M]. 北京:科学出版社,2004.
- [32] 国家环境保护总局. 水和废水监测分析方法[M]. (第四版). 北京; 中国环境科学出版社, 2002. 12.
- [33] 周莹, 渠晓东, 赵瑞, 等. 河流健康评价中不同标准化方法的应用与比较[J]. 环境科学研究, 2013, **26**(4): 410-417. Zhou Y, Qu X D, Zhao R, *et al.* Standardized methods for selecting reference and impaired sites to evaluate river health[J]. Research of Environmental Sciences, 2013, **26**(4): 410-417.
- [34] 裴雪姣, 牛翠娟, 高欣, 等. 应用鱼类完整性评价体系评价 辽河流域健康[J]. 生态学报, 2010, **30**(21): 5736-5746. Pei X J, Niu C J, Gao X, *et al*. The ecological health assessment of Liao River Basin, China, based on biotic integrity index of fish [J]. Acta Ecologica Sinica, 2010, **30**(21): 5736-5746.
- [35] Gu Q W, Wang H Q, Zheng Y N, et al. Ecological footprint analysis for urban agglomeration sustainability in the middle stream of the Yangtze River [J]. Ecological Modelling, 2015,

- **318**: 86-99.
- [36] Luo K, Hu X B, He Q, et al. Using multivariate techniques to assess the effects of urbanization on surface water quality: a case study in the Liangjiang New Area, China [J]. Environmental Monitoring Assessment, 2017, 189(4): 174.
- [37] Bellinger B J, Cocquyt C, O'Reilly C M. Benthic diatoms as indicators of eutrophication in tropical streams [J]. Hydrobiologia, 2006, 573(1): 75-87.
- [38] Shi D M, Wang W L, Jiang G Y, et al. Effects of disturbed landforms on the soil water retention function during urbanization process in the Three Gorges Reservoir Region, China [J].

- Catena, 2016, 144: 84-93.
- [39] Coste M, Boutry S, Tison-Rosebery R J, et al. Improvements of the biological diatom index (BDI); description and efficiency of the new version (BDI-2006) [J]. Ecological Indicators, 2009, 9(4); 621-650.
- [40] Wu J T. A generic index of diatom assemblages as bioindicator of pollution in the Keelung River of Taiwan [J]. Hydrobiologia, 1999, 397: 79-87.
- [41] Kelly M G, Ector L. Effect of streamlining taxa lists on diatom-based indices: implications for intercalibrating ecological status [J]. Hydrobiologia, 2012, $\mathbf{695}(1)$: 253-263.



HUANJING KEXUE

Environmental Science (monthly)

Vol. 38 No. 11 Nov. 15, 2017

CONTENTS

| Development of a Non-Road Mobile Source Emissions Inventory for Tianjin ZHANG Yi, Andre Michel, LI Dong, et al. | |
|--|----------|
| Spatial Simulation of Black Carbon Concentrations Based on a Land Use Regression Model and Mobile Monitoring over Shanghai, China | (1151) |
| PENG Xia, SHE Qian-nan, LONG Ling-bo, et al. | |
| Characteristics and Sources of Elements of a PM ₁₀ Measurements from a Typical Industrial City in Eastern Hubei Province ZHAN Chang-lin, ZHANG Jia-quan, ZHENG Jing-ru, et al. | |
| Characteristics and Source Identification of Carbonaceous Aerosols in PM _{2.5} Measurements During Summer and Fall in Changzhou | |
| Characteristics and Sources of Water Soluble Inorganic Ions in Fine Particulate Matter During Winter in Xuzhou FAN Mei-yi, CAO Fang, ZHANG Yuan-yuan, et al. | |
| Physiochemical Properties and Sources of Atmospheric Particulate Matter During Pollution Monitoring in Nanning, China | |
| Concentration and Size Distribution Characteristics of Culturable Bioaerosols at Various Air Quality Levels During Fall and Winter in Xi'an, China LI Wan-xin, LU Rui, XIE Zheng-sheng, et al. | (4404) |
| | |
| Distribution Characteristics of Chromophoric Dissolved Organic Matter and Nutrients from the Yellow Sea and Bohai Sea in Autumn TANG Yong, SUN Yu-yan, SHI Xiao-yong, et al. | |
| Characteristics and Risks of Heavy Metals Content in Surface Sediment of Tidal Flat Areas in Eastern China | |
| Heavy Metals in Sediments from the Haizhou Bay Marine Ranching Based on Geochemical Characteristics | |
| Major Ionic Features and Their Possible Controls in the Water of the Niyang River Basin ZHANG 1ao, CAI Wu-tian, LI Ting-zhi, et al. Vertical Distribution Characteristics of Fe and Mn in Subtropical Reservoirs During Summer YANG Si-yuan, ZHAO Jian, YU Hua-zhang, et al. | |
| | |
| Occurrence, Distribution, and Ecological Risk of Antibiotics in Surface Water in the Liaohe River Basin, China | (4553) |
| | |
| Responses of the Benthic Diatom Community to Nutrients and the Identification of Nutrient Thresholds in Three Aquatic Ecoregions of the Huntai River, Northeast China ZHANG Li, LIN Jia-ning, ZHANG Yuan, et al. | (4570) |
| | (45/0) |
| Impacts of Environmental Conditions on the Soaking Release of Nitrogen and Phosphorus from Cynodon dactylon (Linn.) Pers. in the Water-level Fluctuation Zone of the Three Gorges Reservoir Region XIAO Li-wei, ZHU Bu | (4500) |
| | |
| Effects of Soil Microbial Diversity on the Phosphate Fraction in the Rhizosphere of Phragmites communis in the Yeyahu Wetland in Beijing, China TENG Ze-dong, LI Min, ZHU Jing, et al. | (4500) |
| | |
| Nitrification and Denitrification Potential of Benthic Sediments in a Suburban Stream under Intense Human Disturbance Scenarios | |
| Distribution of External Phosphorus in the Sedimentary Phosphorus forms Under Different Disturbances | |
| | |
| Zero-Valent Iron (ZVI) Activation of Persulfate (PS) for Oxidation of Arsenic (V) Form Aqueous Solutions | (4623) |
| Removal of Antimony from Water by Nano Zero-Valent Iron/Activated Carbon Composites | |
| Effect of the Flow Patterns of Main-stream Reactors on the Efficiency of Nitrification Enhancement with Bioaugmentation | |
| Effect of Temperature on Nitrogen Removal Performance and the Extracellular Polymeric Substance (EPS) in a Sequencing Batch Reactor (SBR) | (4640) |
| | (4048) |
| Effects of Temperature on Shortcut Nitrification and Nitrification Activity of Nitrification in an Intermittent Aeration Sequencing Batch Reactor LIU Hong, PENG Yong-zhen, LU Jiong-yuan, et al. | (4656) |
| | |
| Nitrite Type Denitrifying Phosphorus Removal Capacity of Cycle Activated Sludge Technology Processes Under Different Inducing Patterns | |
| Effects of Magnetic Activated Carbon with Different Particle Sizes on Sludge Granulation in a SBR System XIN Xin, GUAN Lei, GUO Jun-yuan, et al. | |
| Effects of Magnetic Activated Carron with Different Particle Sizes on Studge Granulation in a SBR System All Ain, GUAN Let, GUO Jun-yuan, et al. Storage and Reactivation of Anaerobic Ammonium Oxidation (ANAMMOX) Sludge at Room Temperature HUANG Jia-lu, WANG Xiao-long, GAO Da-wer | |
| | |
| Microbial Population Dynamics During Sludge Granulation in a Simultaneous Nitrogen and Phosphorus Removal System | |
| Anaerobic Reduction Process Characteristics and Microbial Community Analysis for Sulfate and Fe(II) EDTA-NO/Fe(III) EDTA | |
| Treatment Efficiency and Microbial Community Diversity in a Magnetic Field Enhanced Sequencing Batch Reactor (SBR) | |
| Molecular Research of Acid-Generating Microbial Communities in Abandoned Ores in the Waste Dump of an Iron Mine in Anhui Province DU Ze-rui, HAO Chun-bo, PEI Li-xin, et al. | |
| Microbial Community Diversity and Differences in Cellar water of Typical Rainwater Harvesting Area | |
| Impact of the Biodegradation of 6:2 Fluorotelomer Alcohol on the Bacterial Community Structure of Surface Sediment | |
| | |
| Identification and Nitrogen Removal Characteristics of the Heterotrophic Nitrification and Aerobic Denitrification Bacterial Strain DK1 MU Dong-yang, JIN Peng-fei, PENG Yong-zhen, et al. | |
| | |
| Mercury Release Flux and Its Influencing Factors Under Four Typical Vegetation Covers at Jinyun Mountain, Chongqing | |
| Short-term Effects of Nitrogen Deposition on CO ₂ and CH ₄ Fluxes from Wetlands in the Minjiang River Estuary | |
| Effects of Plastic Film Mulching on Methane and Nitrous Oxide Emissions from a Rice-Rapeseed Crop Rotation SHI Jiang-lai, HAO Qing-ju, FENG Di, et al. | |
| Assessment of Pollution, Sources, and Risks of Polycyclic Aromatic Hydrocarbons in Soil from Urban Parks in Xi'an City, China | |
| Spatial Distribution of Soil Particles and Heavy Metals Under Different Psammophilic Shrubs in the Ulan Buh Desert | |
| Effects of UV-B Radiation on Soil Carbon and Nitrogen Transformation under Different Soil Moisture Contents from Two Paddy Fields JIANG Meng-die, WANG Qiu-min, XU Peng, et al. | |
| Various effects on the Abundance and Composition of Arbuscular Mycorrhizal Fungal Communities in Soils in Karst Shrub Ecosystems LIANG Yue-ming, SU Yi-rong, HE Xun-yang, et al. | (4020) |
| | |
| Remediation of Cd/Ni Contaminated Soil by Biochar and Oxalic Acid Activated Phosphate Rock | |
| Effects of Repeated Freezing and Thawing and High Temperature Aging on the Solidification and Stabilization of Arsenic Contaminated Soil | |
| Evaluation of the Combined Removal of Heavy Metals by Saponin and Citric Acid from Municipal Sewage Sludges and Metal Stability Features YE Tao, HUANG Li, ZHANG Ke-qiang, et al. | (4050) |
| | |
| Interactions between Goethite and Humic Acid and the Stability of Goethite-Humic Acid Complex WANG Rui, ZHU Chao-ju, XIANG Wen-jun, et al. | |
| Contents and Health Risks of Organic Phosphorus Esters in Plastic Runway Products | |
| Effects on Physico-chemical Parameters of Glycoside Hydrolase Family 6 Genes During Composting of Agricultural Waste CHEN Yao-ning, GOU Yu, LI Yuan-ping, et al. | |
| Effect of the Food to Mass Ratio and Hydraulic Retention Time on Hydrogen Production from Fruit and Vegetable Waste LI Biao, KONG Xiao-ying, LI Lian-hua, et al. | |
| Comment on Sensitivity Analysis Methods for Environmental Models | (4889) |